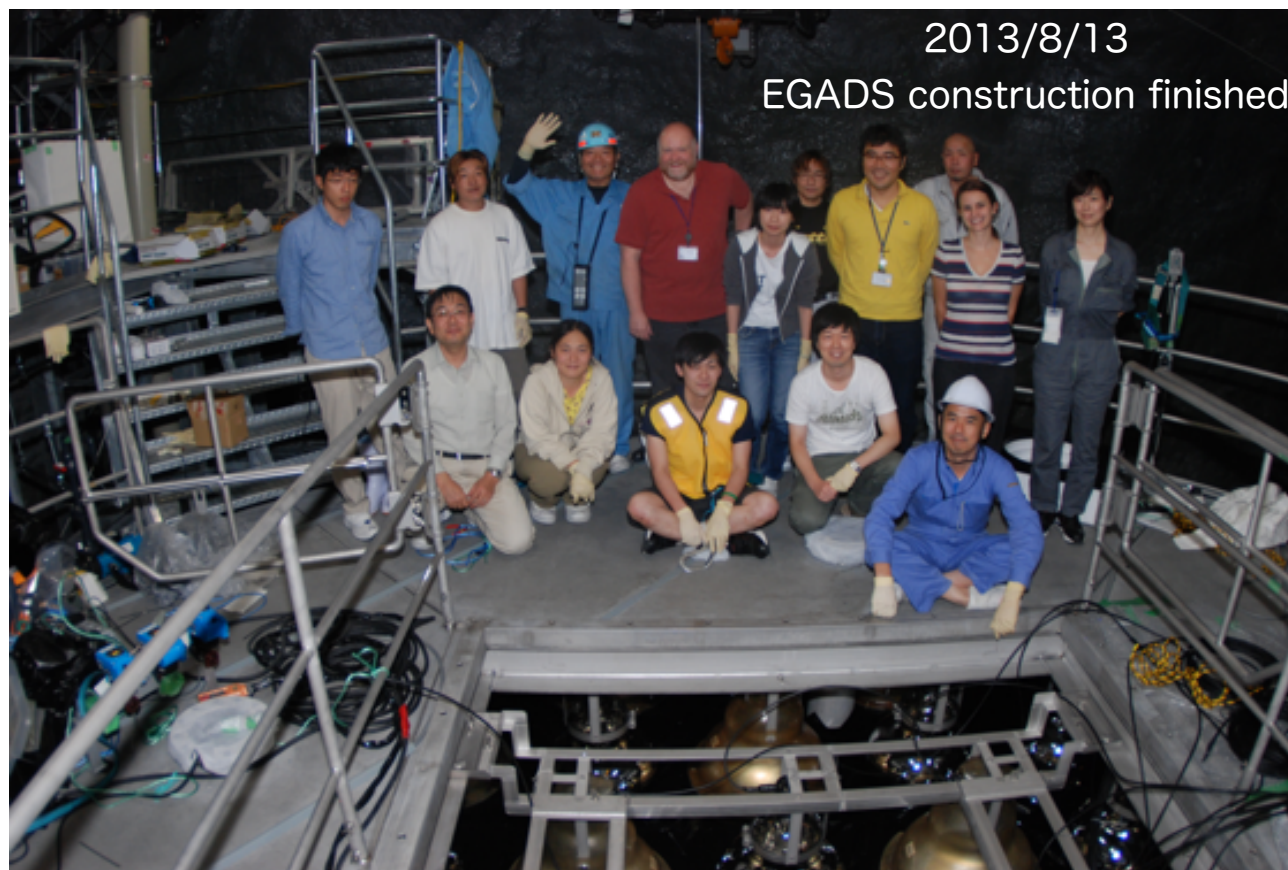




SK-Gd計画

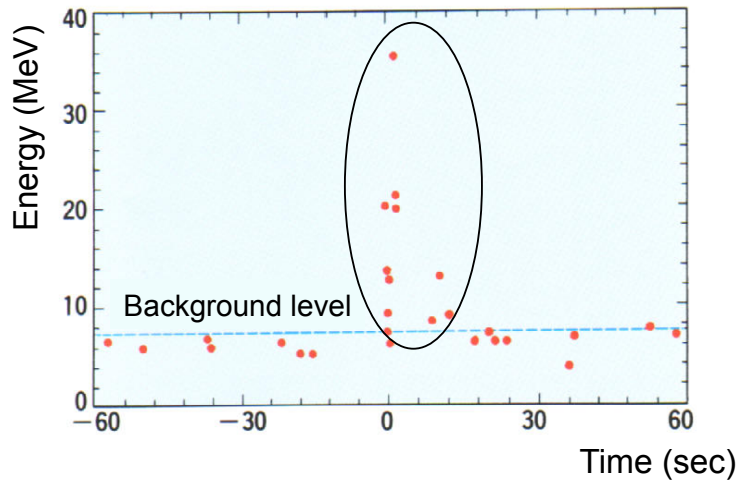


小汐由介（岡山大学）

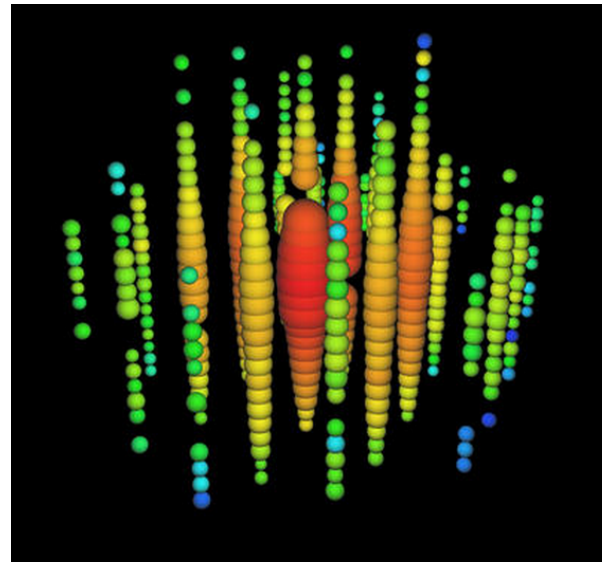
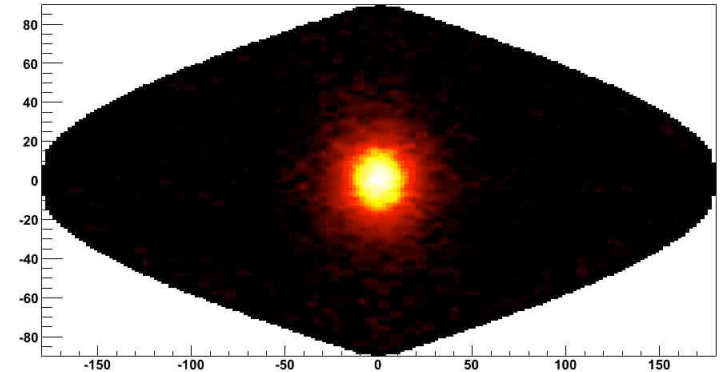
新学術領域・宇宙の歴史をひもとく地下素粒子原子核研究
領域研究会・岡山大学・2017年5月23日

これまでに観測された宇宙ニュートリノ

SN1987A



Solar Neutrino



IceCube

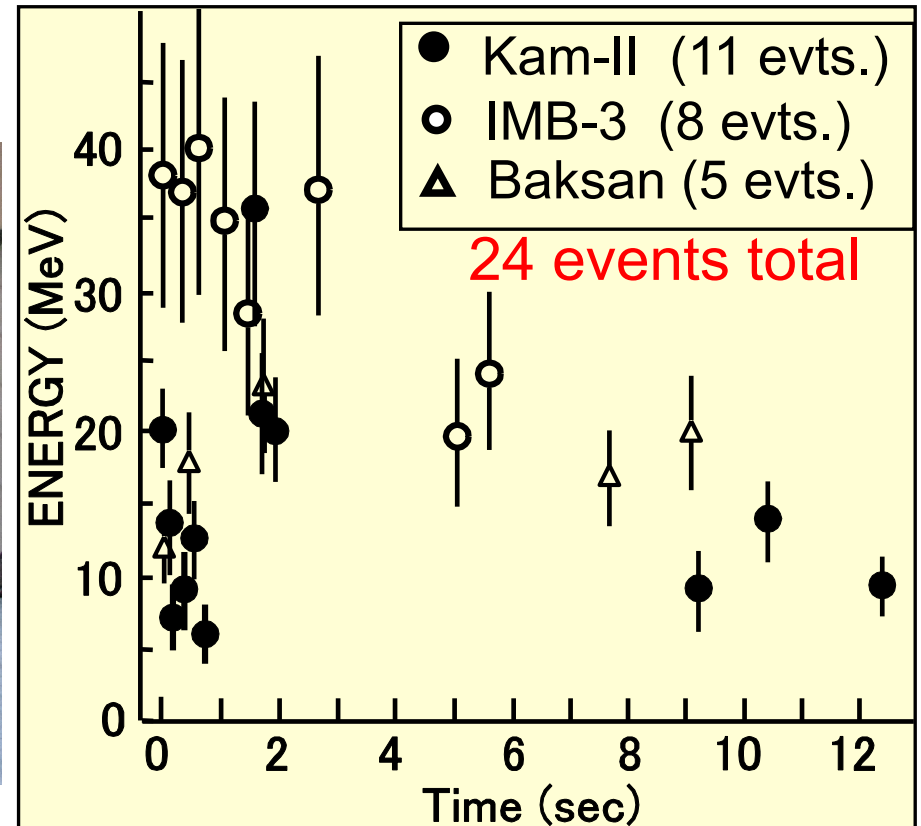
次は 超新星背景ニュートリノ！
銀河系内超新星爆発ニュートリノ！

30 years anniversary of SN1987A

Workshop at Koshiba hall in U.of.Tokyo
on Feb. 12-13, 2017



<http://www-sk.icrr.u-tokyo.ac.jp/indico/conferenceDisplay.py?confId=2935>



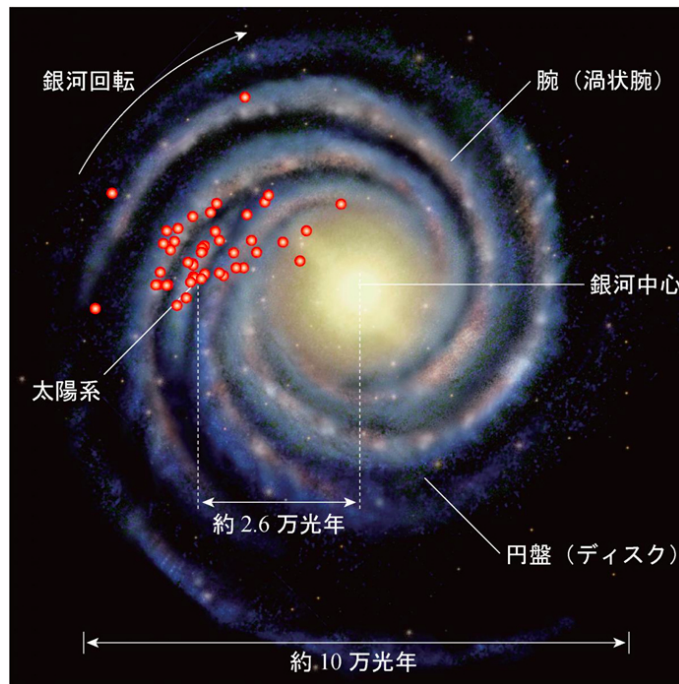
肉眼で見えるほど明るい超新星爆発は約400年ぶり
その後も30年間起こっていない

No chance for Supernova neutrino search for next hundred's years?

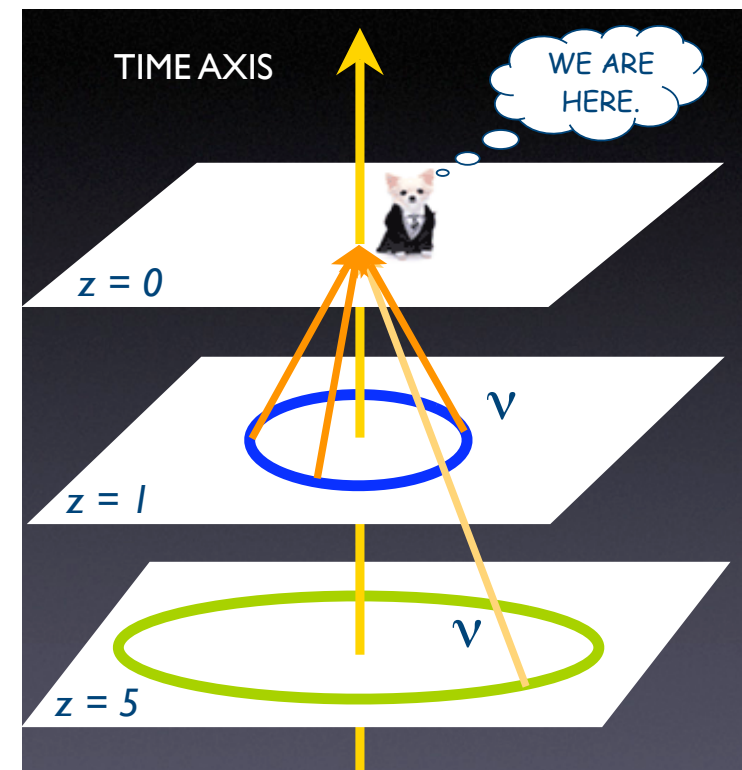


We believe, yes!

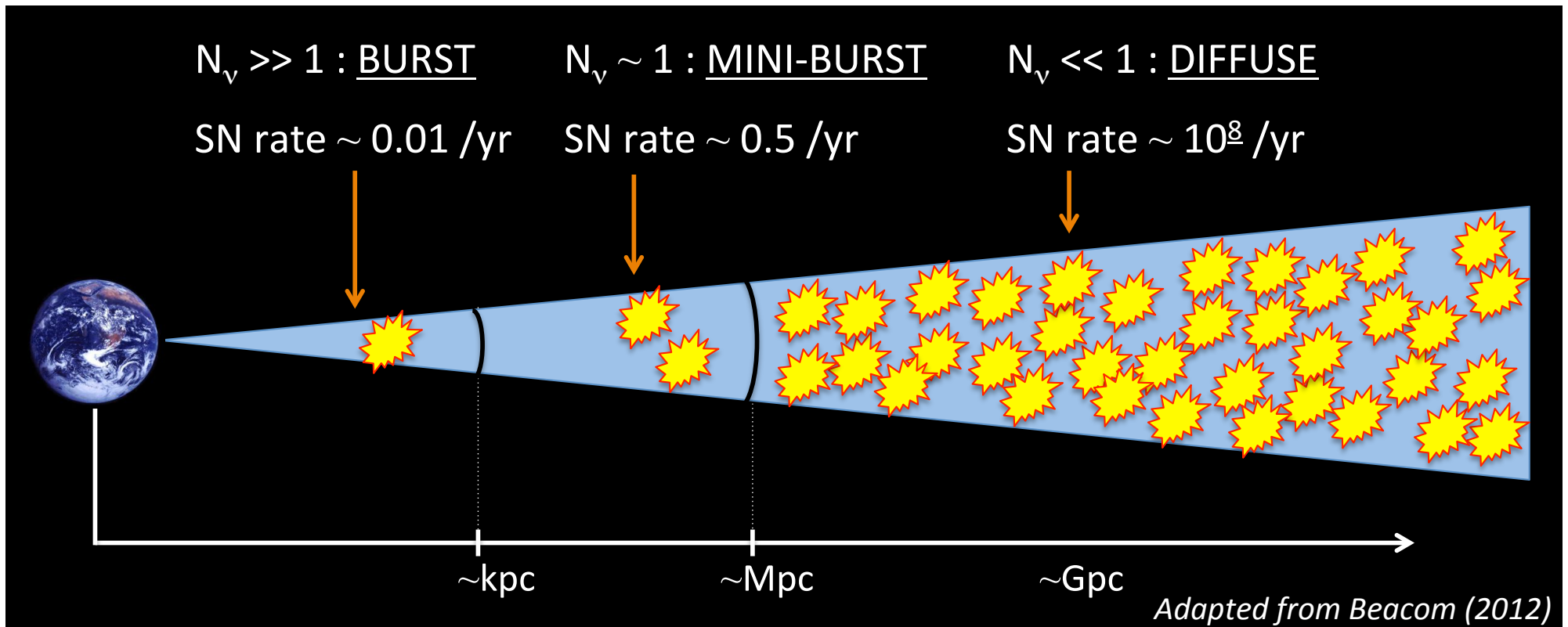
銀河系内超新星爆発
(a few per century)



超新星背景ニュートリノ



Several targets of Supernova Neutrinos



超新星背景ニュートリノ研究の歴史

- 最初に指摘されたのは1960年代
- 1980年代になって計算がなされた
- Kamiokande で初めて観測による上限値がつけられた (1988年)
- SKでの観測上限値 (2003年, 2012年)
- Ando and Sato (2004年) の理論予測
- 現在では詳細な理論計算がされている。

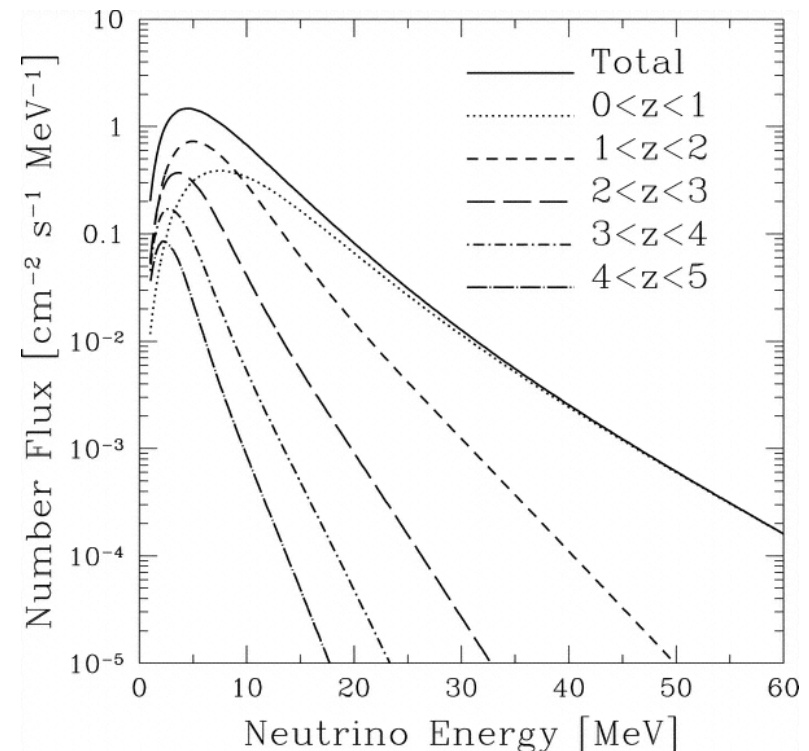
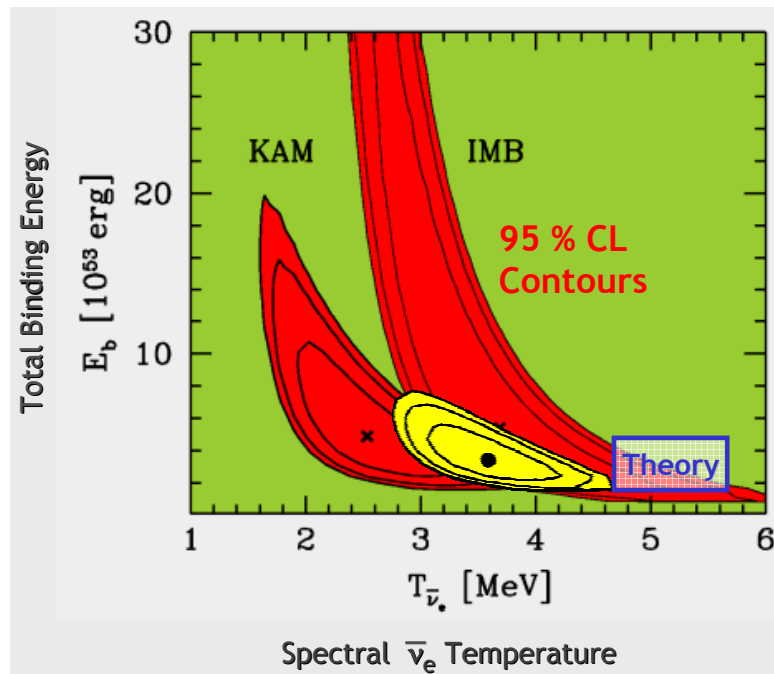
Physics Motivation

大質量星形成の歴史探索

$$\frac{d\phi}{dE_\nu}(E_\nu) = \int_0^\infty \frac{[(1+z)\varphi[E_\nu(1+z)]] [R_{SN}(z)]}{\left[\left| \frac{c dt}{dz} \right| dz \right]}$$

超新星爆発で放射されるニュートリノスペクトル

超新星爆発の頻度



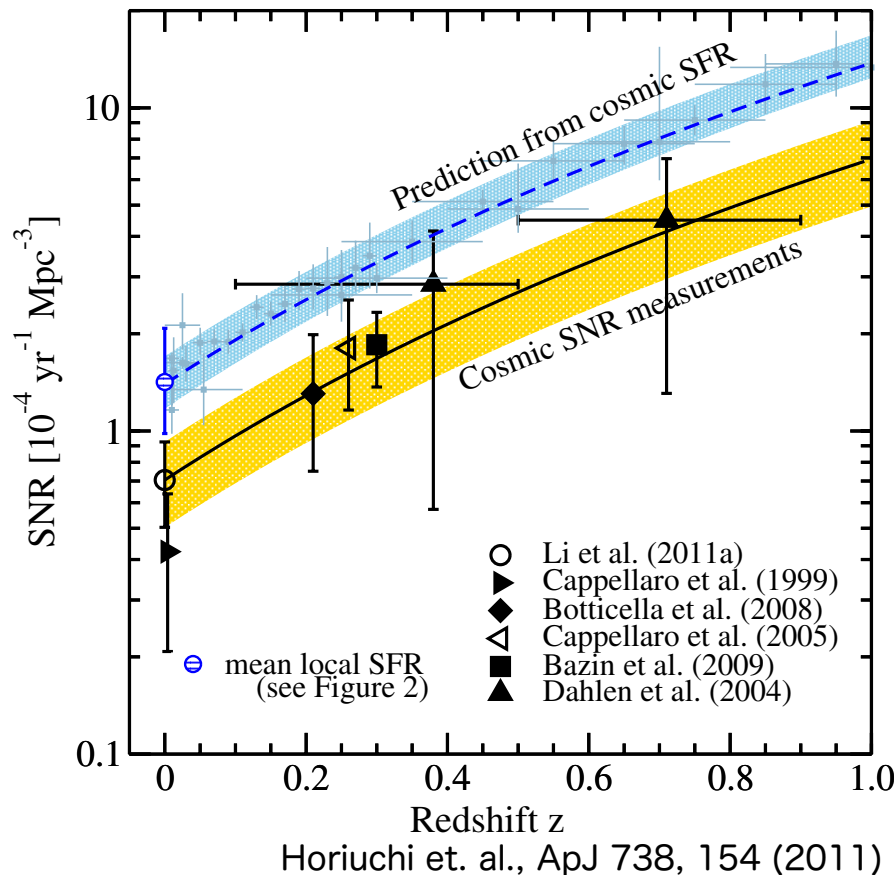
Jegerlehner, Neubig, Raffelt, PRD 54 (1996) 1194

S.Ando, ApJ. 607; 20-31, 2004

Physics Motivation

超新星爆発の頻度

観測された超新星残骸から見積もった超新星の頻度は、SFRから予測される頻度に対して半分くらいしかない。



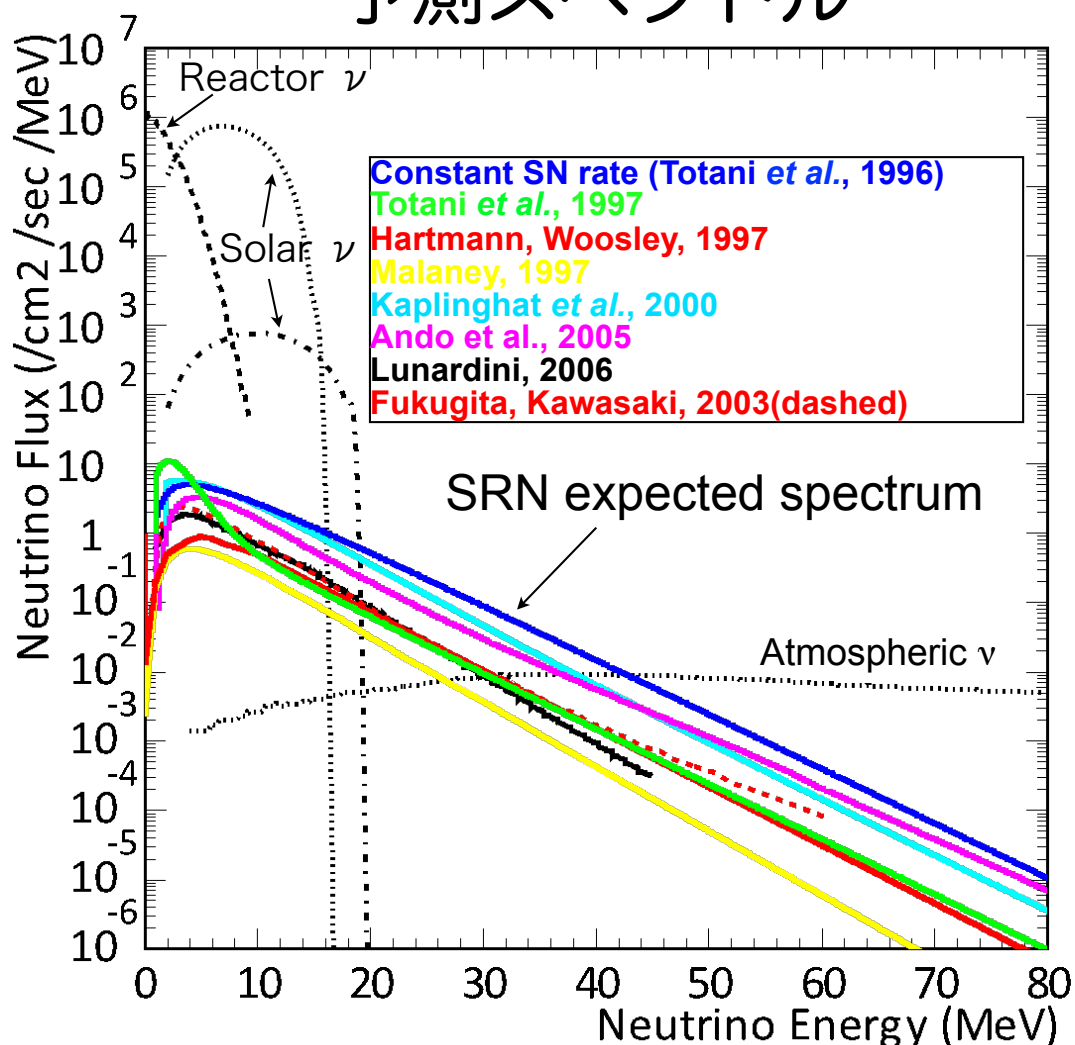
- ・明るさが暗い超新星があるのか？
- ・光を遮るものがあるって見えないのか？

超新星背景ニュートリノの
観測が重要

Why SK-Gd

超新星背景ニュートリノ探索

予測スペクトル

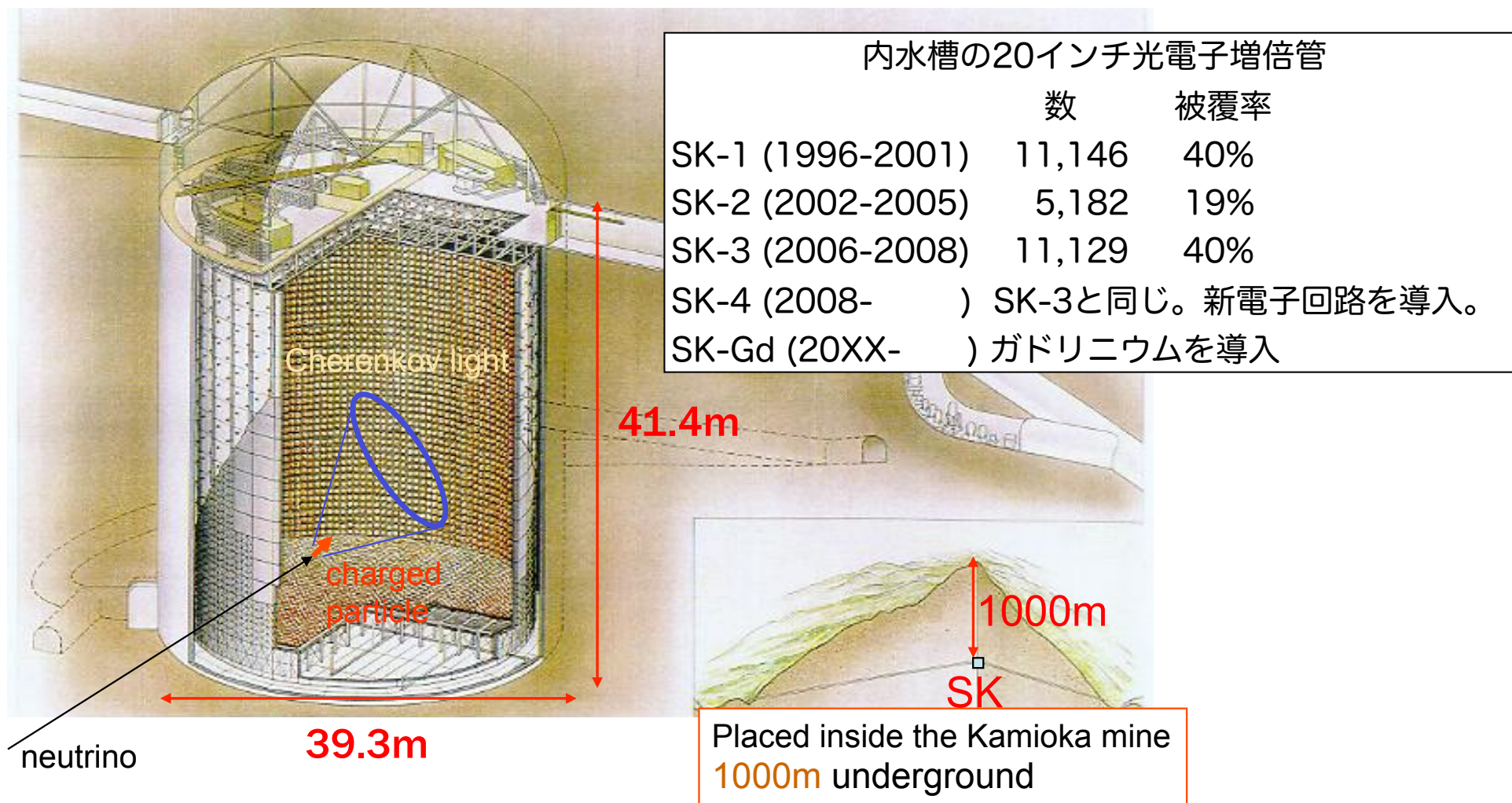


- ・約10秒間バースト的に発生する超新星爆発ニュートリノと異なり、常に漂っているフラックスの小さい信号の探索になる。したがってバックグラウンド事象との識別が鍵となる。
- ・等方的に発生することから、水チェレンコフ検出器での太陽ニュートリノ弾性散乱事象との区別には、方向情報が使える。
- ・バックグラウンド事象の識別には同時遅延計測手法が強力な武器

超新星背景ニュートリノ探索

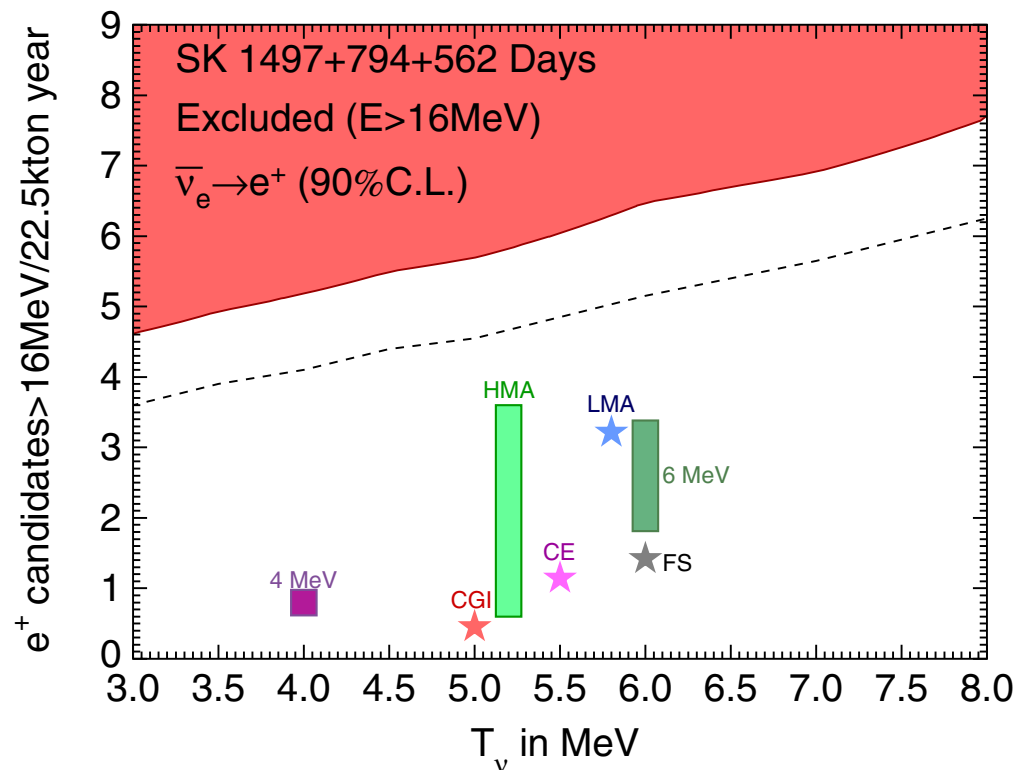
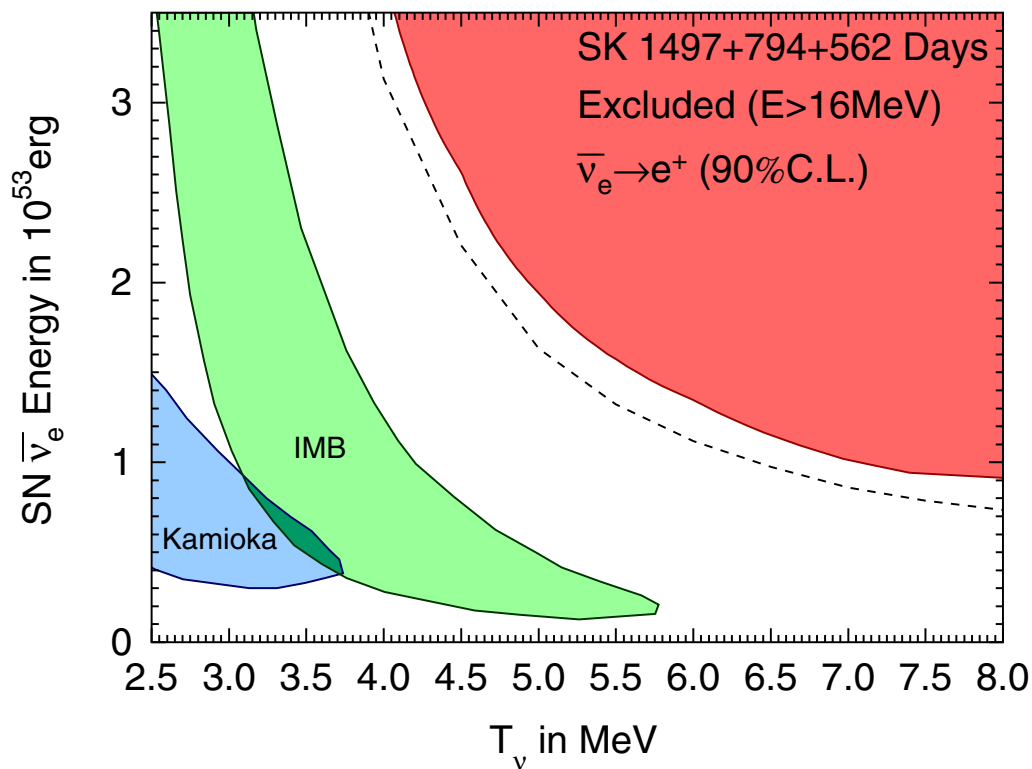
実験	発表年	検出器タイプ	有効体積	測定日数	エネルギー領域
Kamiokande	1988	水	680 ton	1040 days	20~50 MeV
LSD	1992	液体シンチレータ	90 ton	847.3 days	20~50 MeV
Super-K	2003	水	22500	1496	18~34
	2012		ton	2853	16~100
SNO	2006	重水	770 ton	306.4 days	21~35 MeV
(Borexino)	2011	液体シンチレータ	270 ton	736 days	1.8~17.8 MeV
KamLAND	2012	液体シンチレータ	700 ton	2343 days	8.3~31.8 MeV

スーパーカミオカンデ



スーパーカミオカンデ (2012)

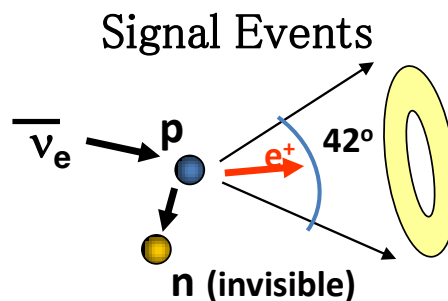
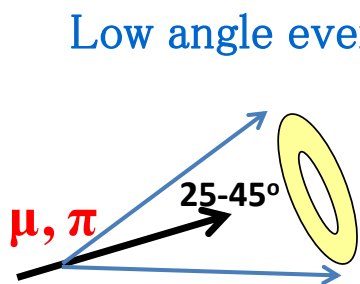
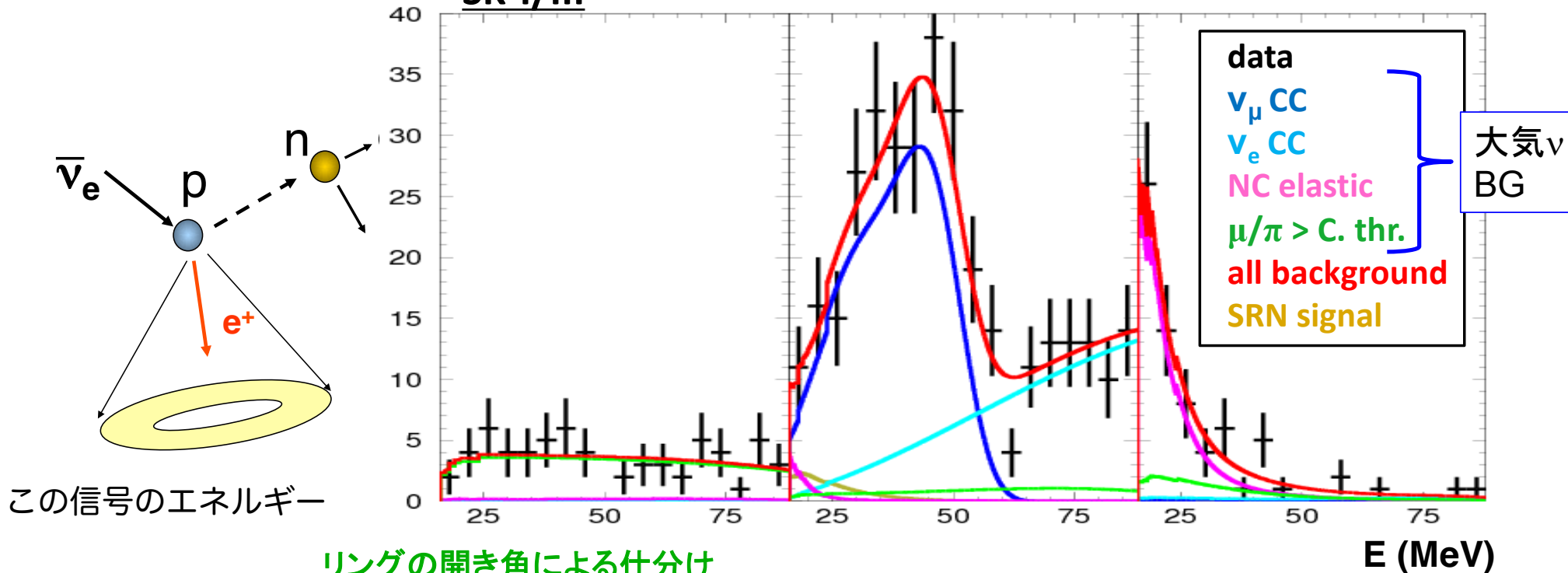
超新星背景ニュートリノのフラックス上限値



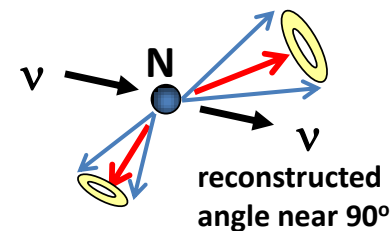
スーパーカミオカンデ (2012)

SK collaboration, Phys. Rev. D 85, 052007 (2012)

SK-I/III

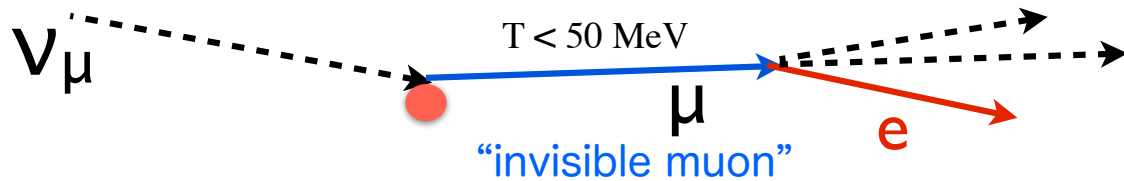


Isotropic Events

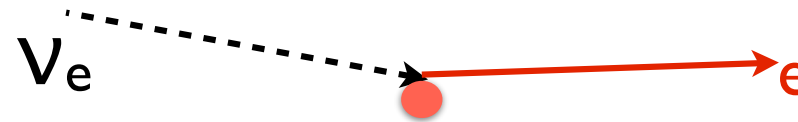


バックグラウンド事象

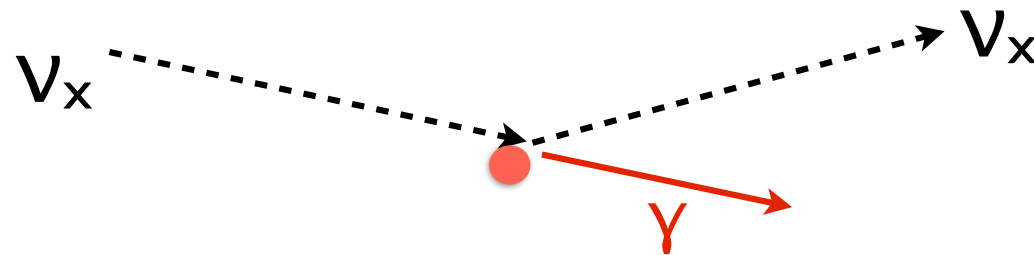
Decay electron
“atm. muon neutrinos”



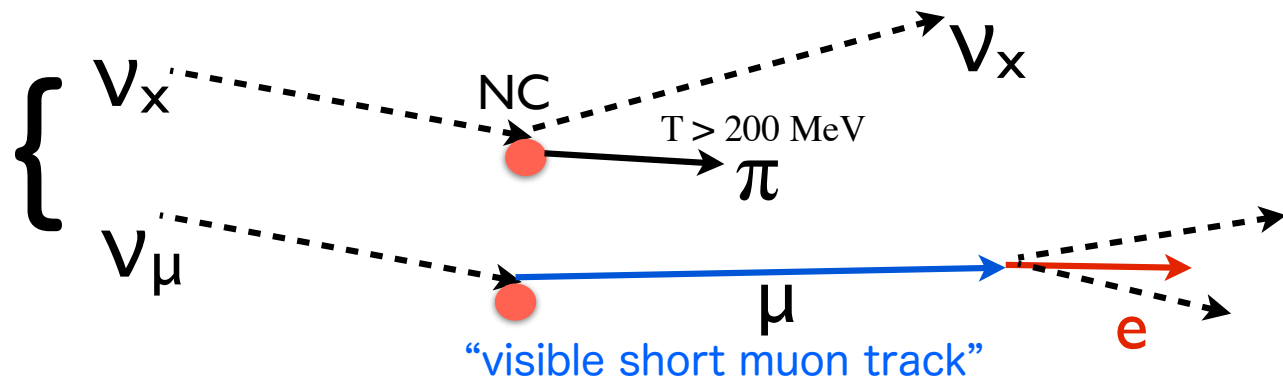
ν_e CC
“atm. electron neutrinos”



NC Elastic
“atmospheric”



μ/π
“ μ/π production
from atm. neutrinos”

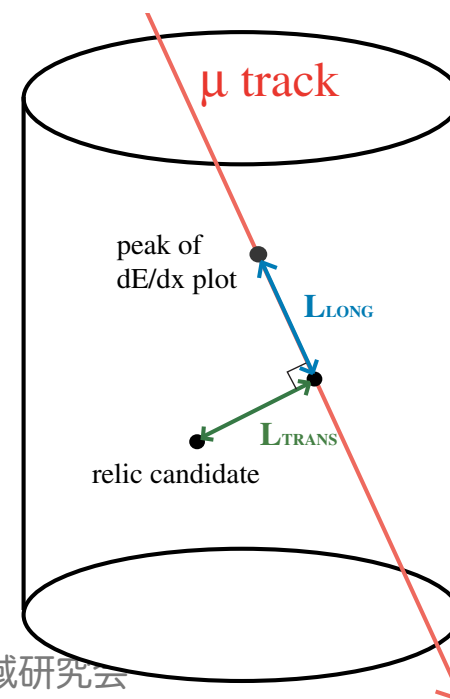
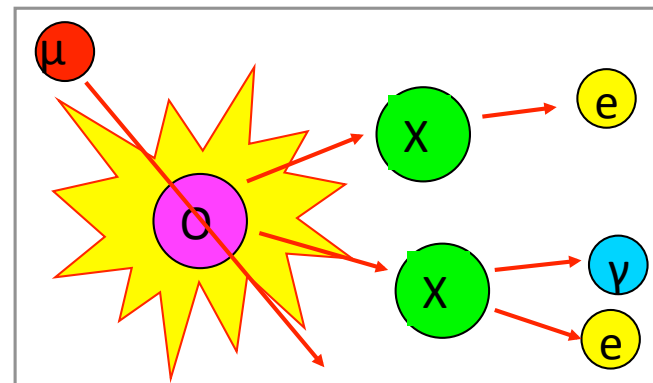


バックグラウンド事象

($E < 16\text{MeV}$)

ミューオンによる酸素原子核破碎

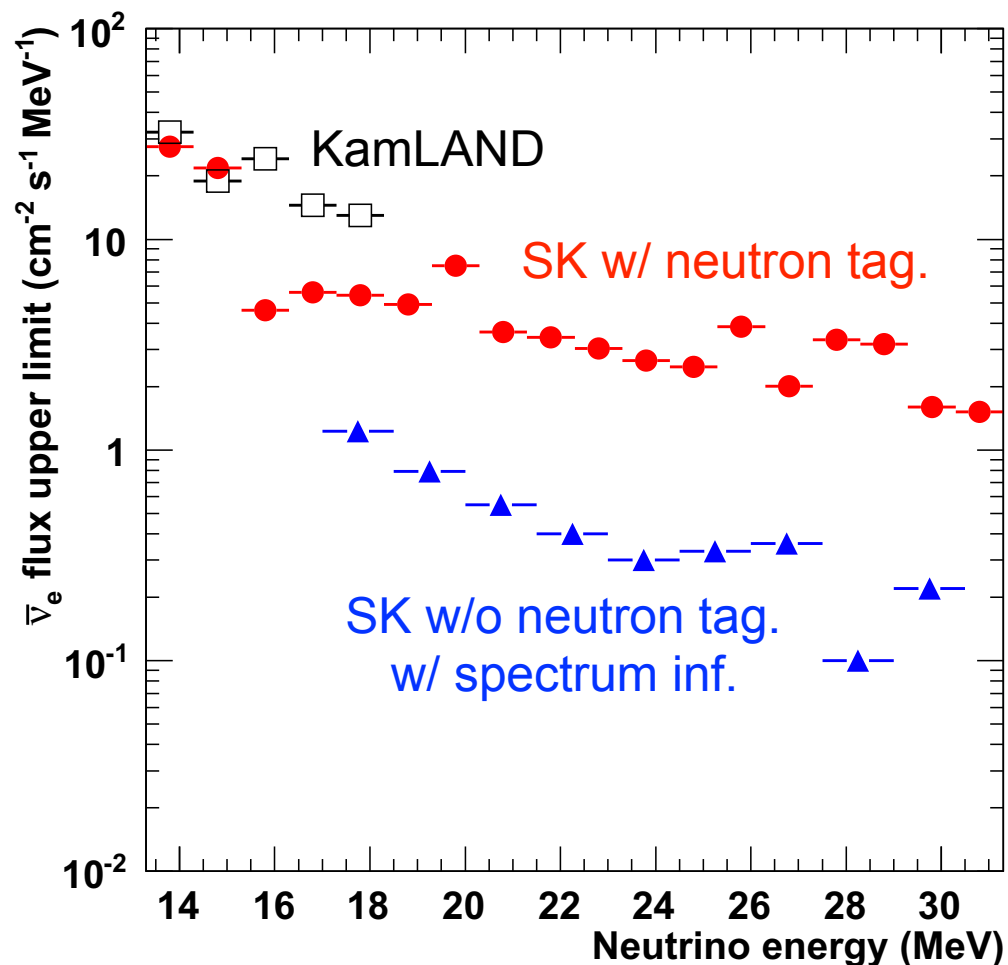
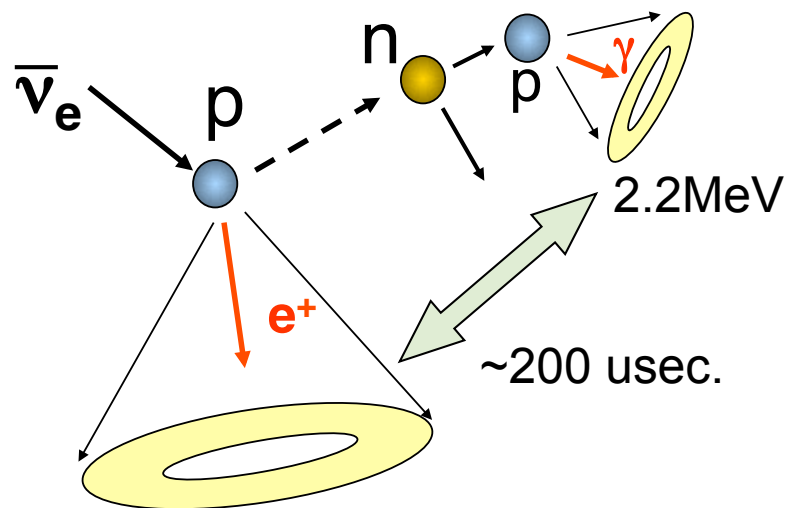
Isotope	$\tau_{1/2}(\text{sec})$	Decay mode	Kinetic Energy(MeV)
${}^{11}_3\text{Li}$	0.0085	β^- $\beta^- + n$	20.77 (31%) ~16 (61%)
${}^{13}_8\text{O}$	0.0090	$\beta^+ + p$	8~14
${}^{12}_7\text{N}$	0.0110	β^+	16.38
${}^{12}_4\text{Be}$	0.0114	β^-	11.66
${}^{14}_5\text{B}$	0.0161	β^-	14.07+6.09(γ)
${}^{13}_5\text{B}$	0.0173	β^-	13.42
${}^{12}_5\text{B}$	0.0204	β^-	13.37
${}^8_2\text{He}$	0.122	β^- $\beta^- + n$	10.56+0.99(γ) (11%)
${}^9_6\text{C}$	0.127	$\beta^+ + p$	3~13
${}^9_3\text{Li}$	0.178	β^- $\beta^- + n$	13.5 (75%) 11.0+2.5(γ) (25%) ~ 10 (35%)
${}^{16}_6\text{C}$	0.7478	$\beta^- + n$	~4
${}^8_5\text{B}$	0.77	β^+	13.73
${}^8_3\text{Li}$	0.84	β^-	12.5~13.0
${}^{15}_6\text{C}$	2.449	β^-	9.82 (32%) 4.51+5.30(γ) (68%)
${}^{16}_7\text{N}$	7.134	β^-	10.44(26%) 4.27+6.13(γ) (74%)
${}^{11}_4\text{Be}$	13.8	β^-	11.48 (61%) 9.32+2.1(γ) (29%)



スーパーカミオカンデ (2015)

同時遅延計測を使った反電子ニュートリノフラックスの上限値

SK-4 からは電子回路の改良により
検出効率が高くないが (~20%)
同時遅延計測もできるようになった



超新星背景ニュートリノの発見には至っていないが
理論予測値には近づいている

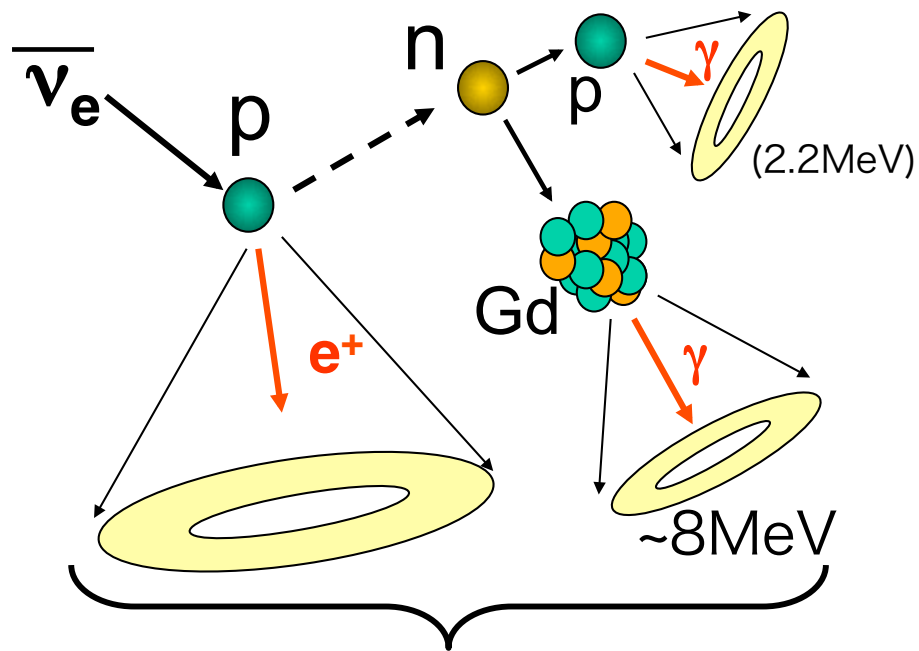
バックグラウンドを如何に落とすか



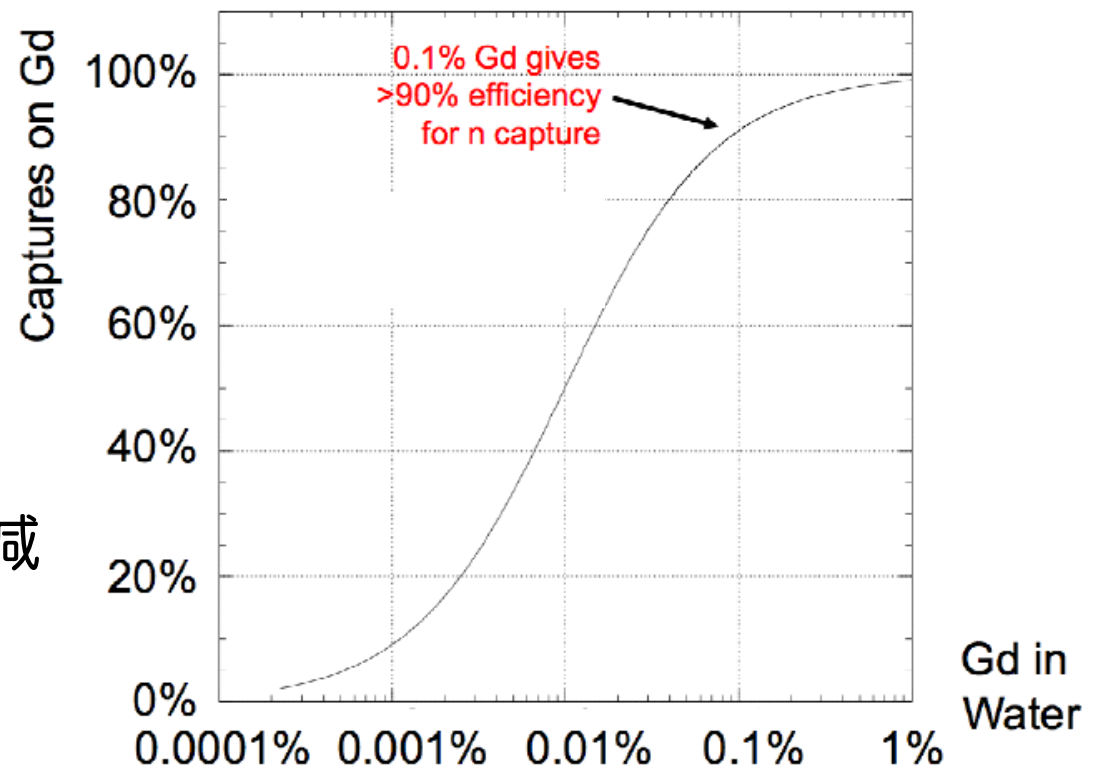
SK-Gd 実験

What's SK-Gd

Super-K with Gadolinium



Dissolve Gadolinium into Super-K
 J.Beacom and M.Vagins,
 Phys.Rev.Lett.93 (2004) 171101



同時遅延計測

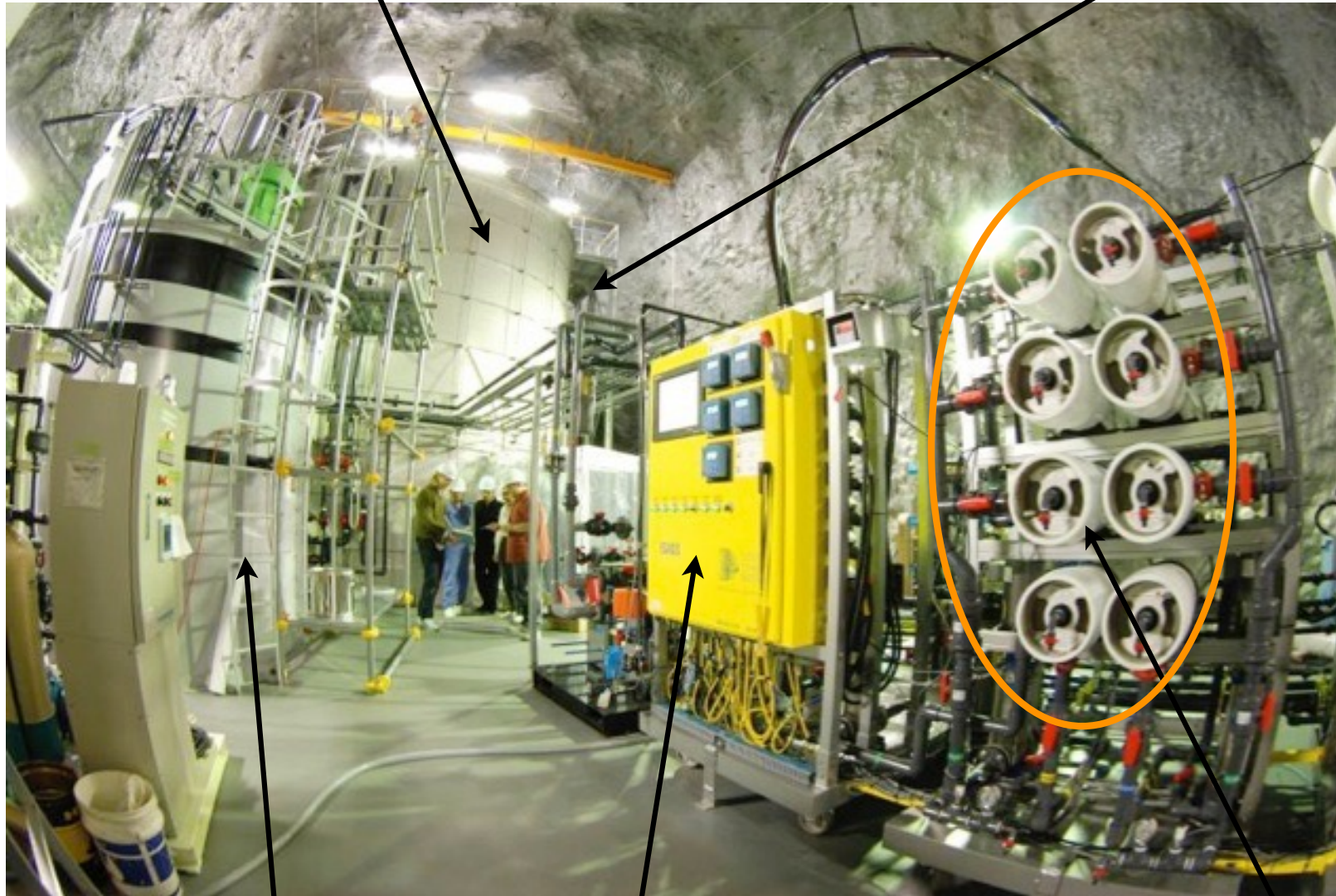
$\bar{\nu}_e$ 信号に対するBGを劇的に削減

$\Delta T \sim 20 \mu\text{sec}$

Vertices within $\sim 50\text{cm}$

EGADS

200 ton tank



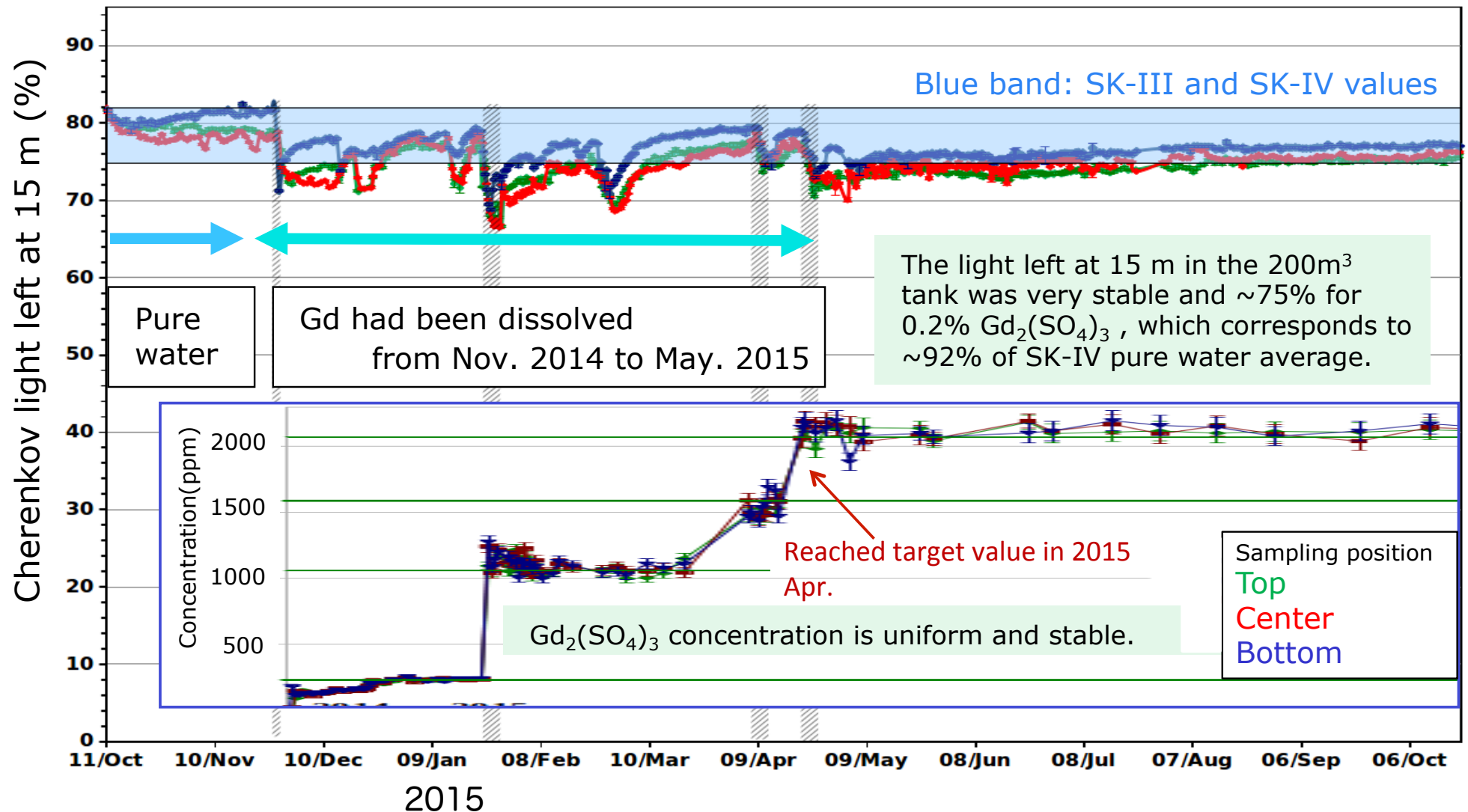
15 ton buffer tank

Control panel of circulation system

Filter

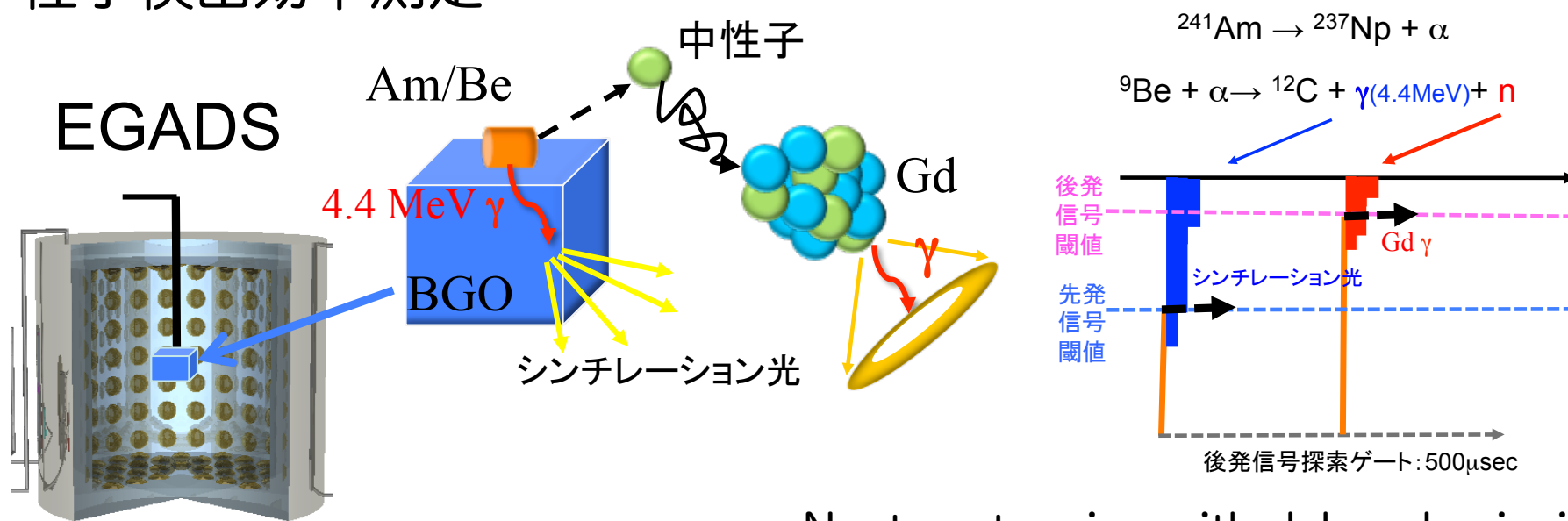
EGADS

水の透過率とGd濃度



EGADS

中性子検出効率測定



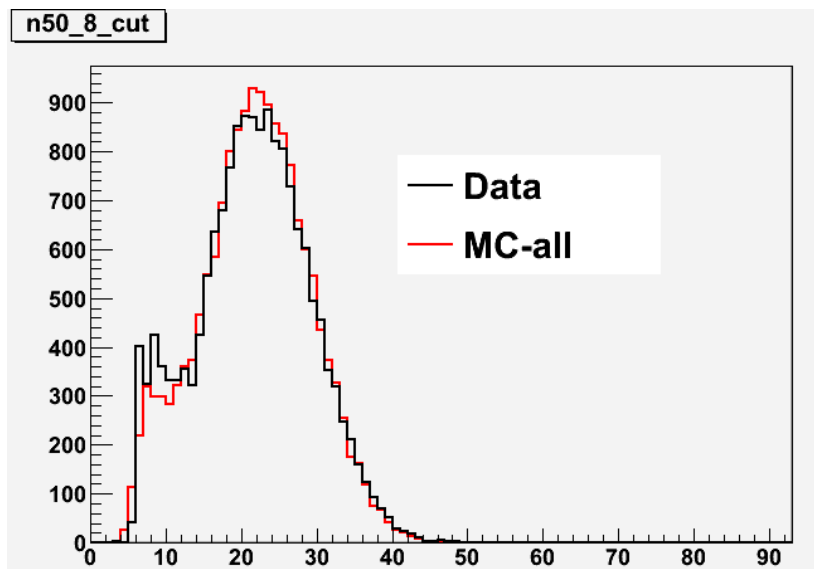
Neutron tagging with delayed coincidence

Neutron capture time

	2178 \pm 44ppm	1055 \pm 21ppm	225 \pm 5ppm
Data	29.89 \pm 0.33	51.48 \pm 0.52	130.1 \pm 1.7
MC	30.03 \pm 0.77	53.45 \pm 1.19	126.2 \pm 2.0

Neutron capture efficiency

Data	MC
84.36 \pm 1.79%	84.51 \pm 0.33%



Innovative area (H24-28)

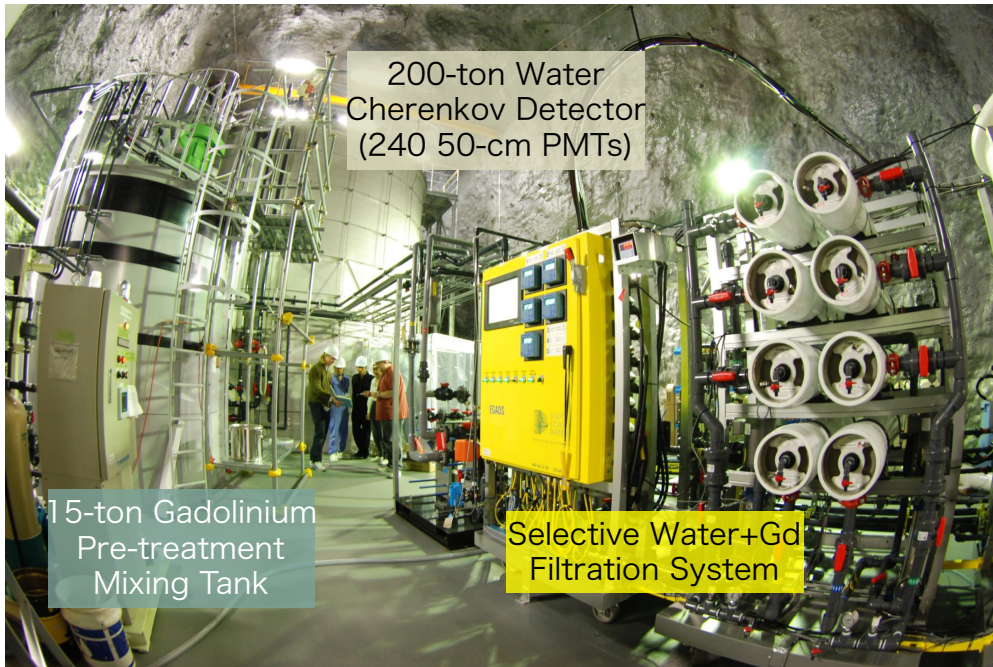
'Gravitational Wave Source'

A03 : Neutrinos

Existing R&D Facility
EGADS (200 tons)



Converting into the world's
most advanced SN ν detector



e.g.

3690 events at 3000 light-years

369000 events at 300 light-years

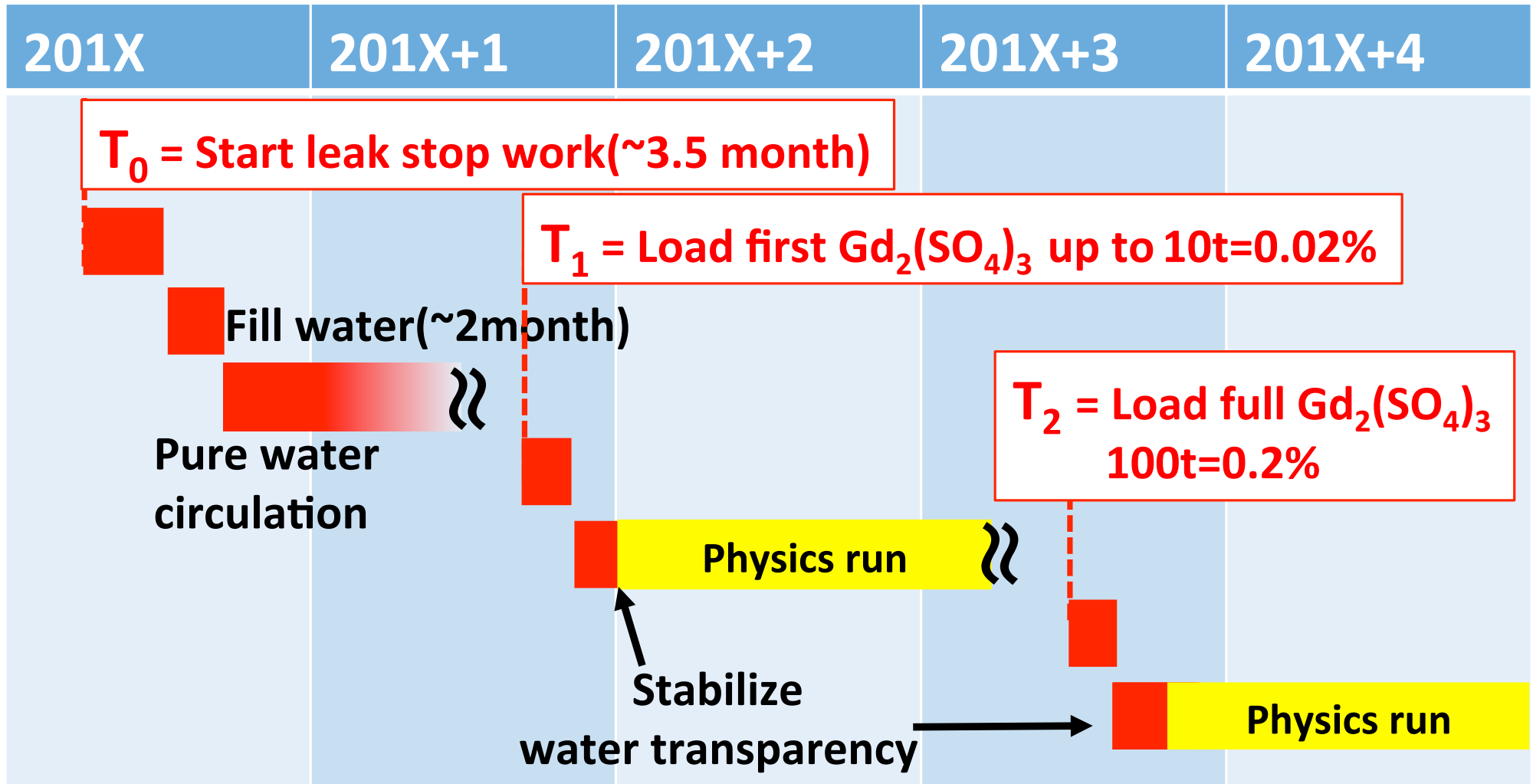
Special feature of SN ν and GW

- Provide image of core-collapse itself
- Only SN messenger which travel without attenuation to Earth (dust does not affect signal)

(SK tank open 時の代替機としても)

2015年に SK-Gd プロジェクトが
コラボレーションに認められた。

SK-Gd



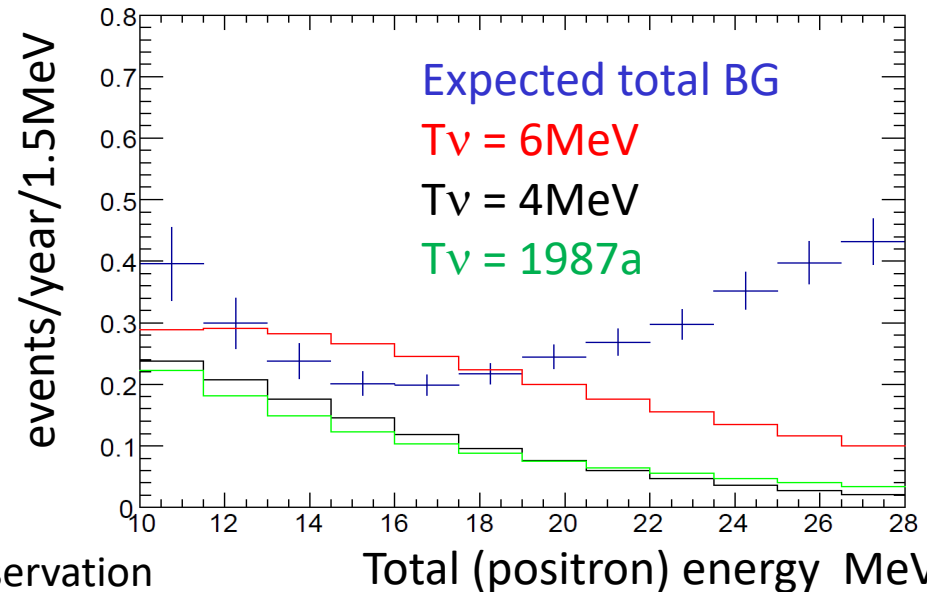
SK-Gd

期待される感度

DSNB flux:

Horiuchi, Beacom and Dwek,
PRD, 79, 083013 (2009)

- It depends on typical/actual SN emission spectrum



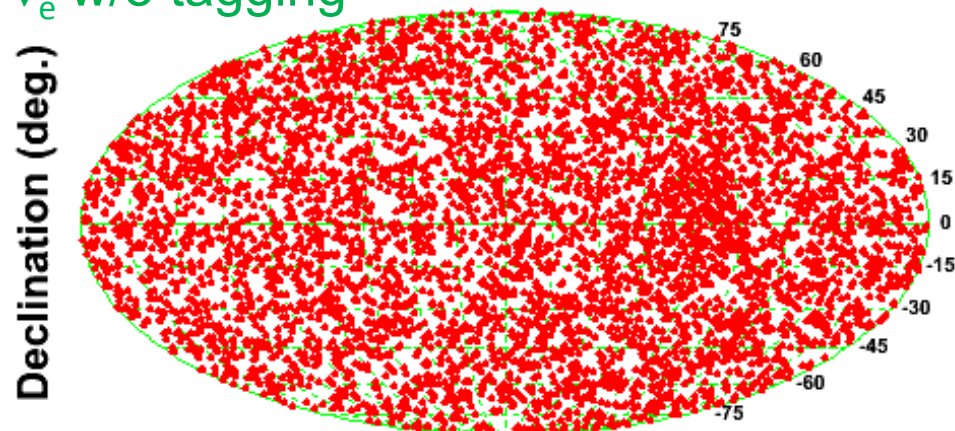
DSNB events number with 10 years observation

HBD models	10-16MeV (evts/10yrs)	16-28MeV (evts/10yrs)	Total (10-28MeV)	significance (2 energy bin)
$T_{\text{eff}} 8\text{MeV}$	11.3	19.9	31.2	5.3σ
$T_{\text{eff}} 6\text{MeV}$	11.3	13.5	24.8	4.3σ
$T_{\text{eff}} 4\text{MeV}$	7.7	4.8	12.5	2.5σ
$T_{\text{eff}} \text{SN1987a}$	5.1	6.8	11.9	2.1σ
BG	10	24	34	----

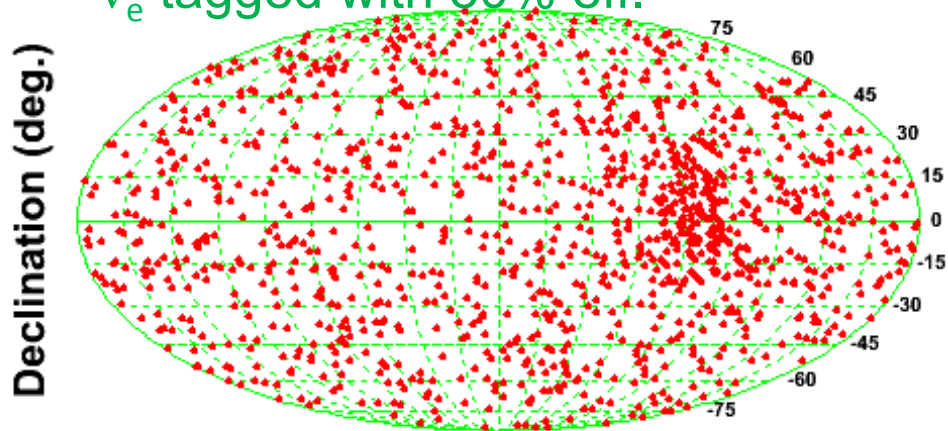
最初の発見が期待できる

超新星爆発ニュートリノ

$\bar{\nu}_e$ w/o tagging

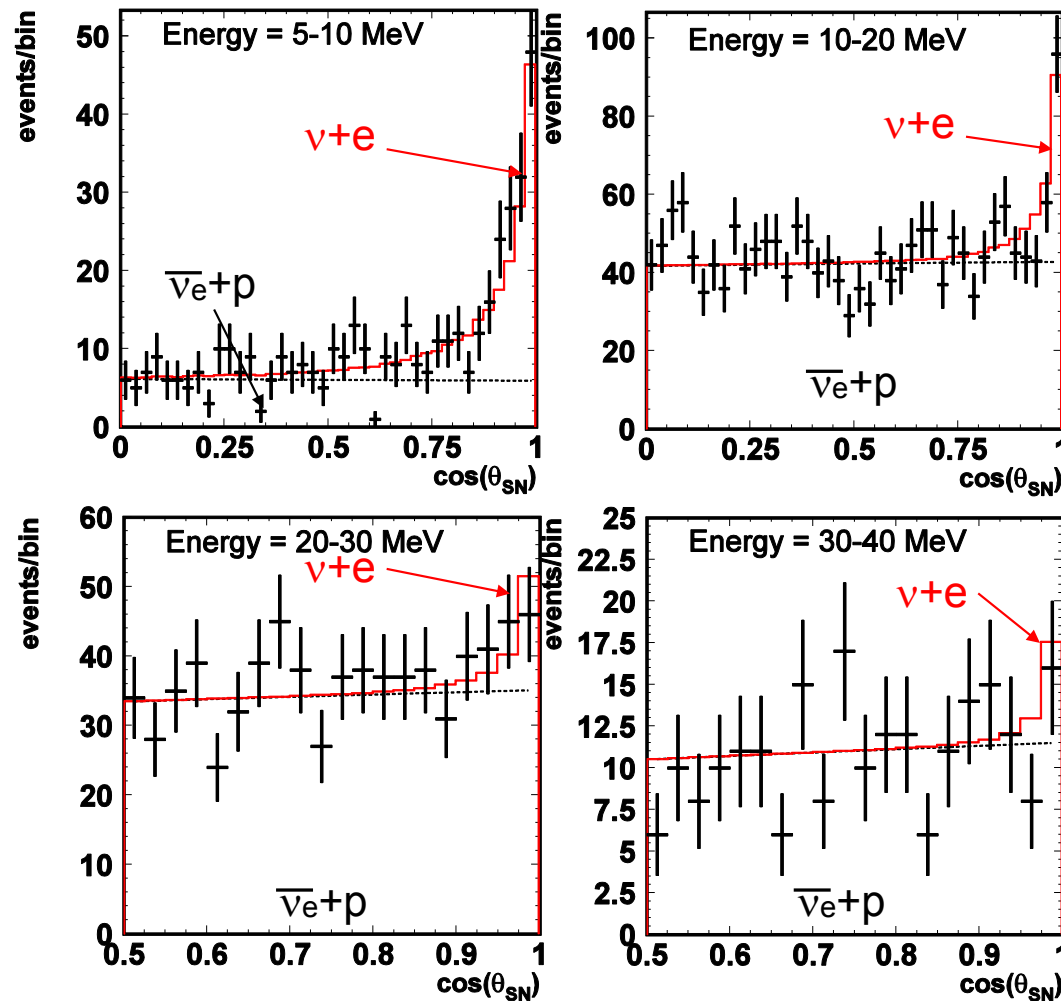


$\bar{\nu}_e$ tagged with 80% eff.



Right ascension (deg.)

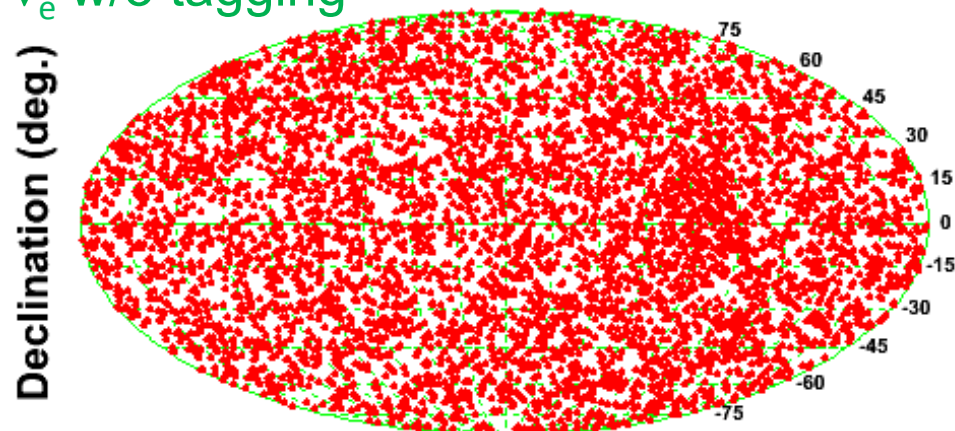
中性子タグなし



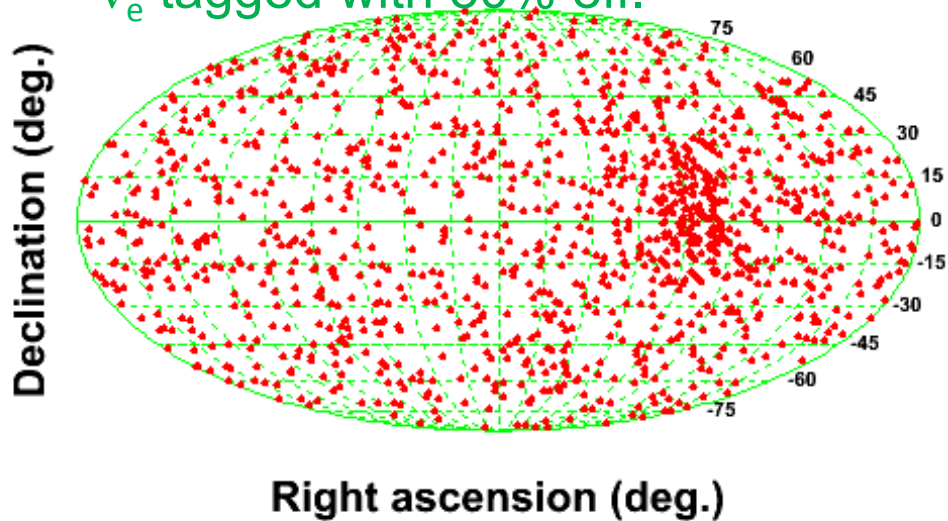
6度程度の精度で方向決定可

超新星爆発ニュートリノ

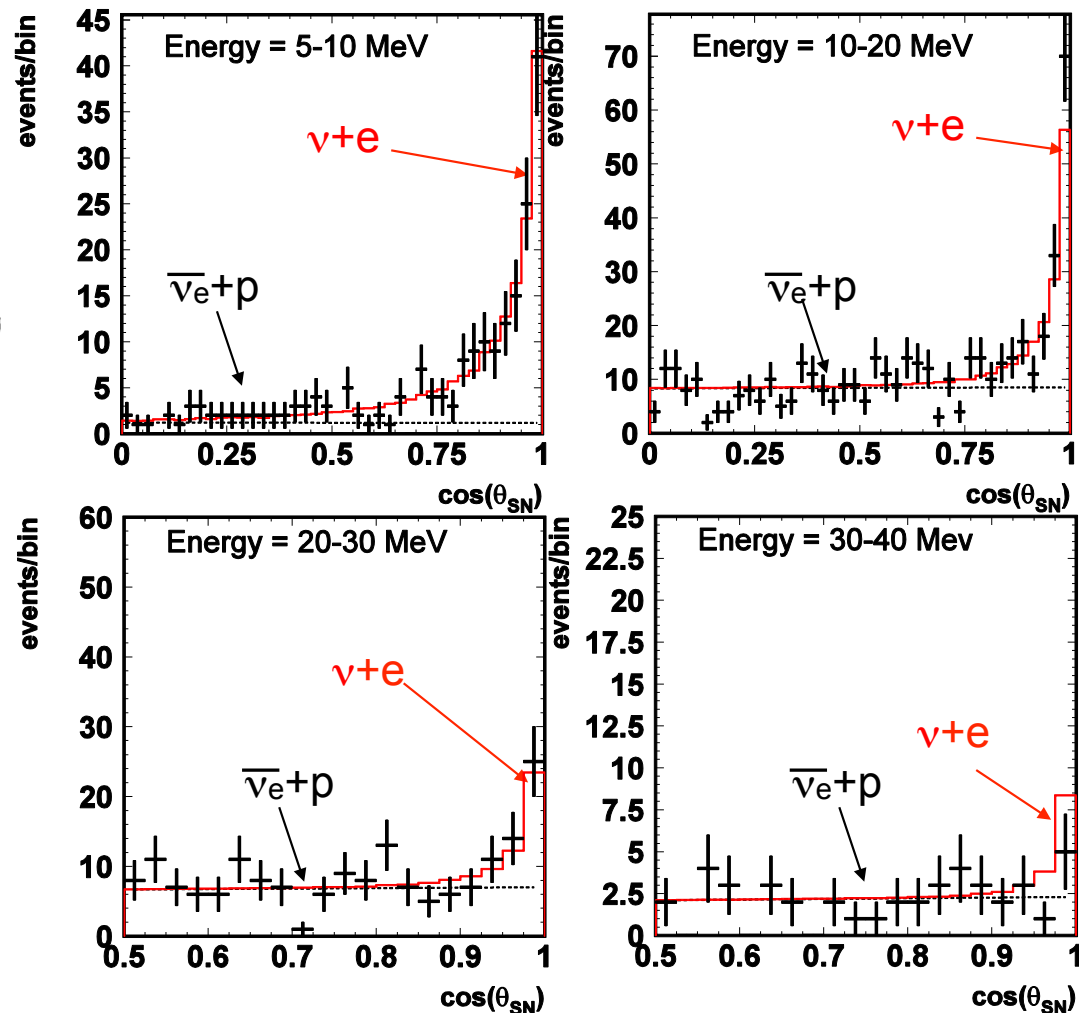
$\bar{\nu}_e$ w/o tagging



$\bar{\nu}_e$ tagged with 80% eff.



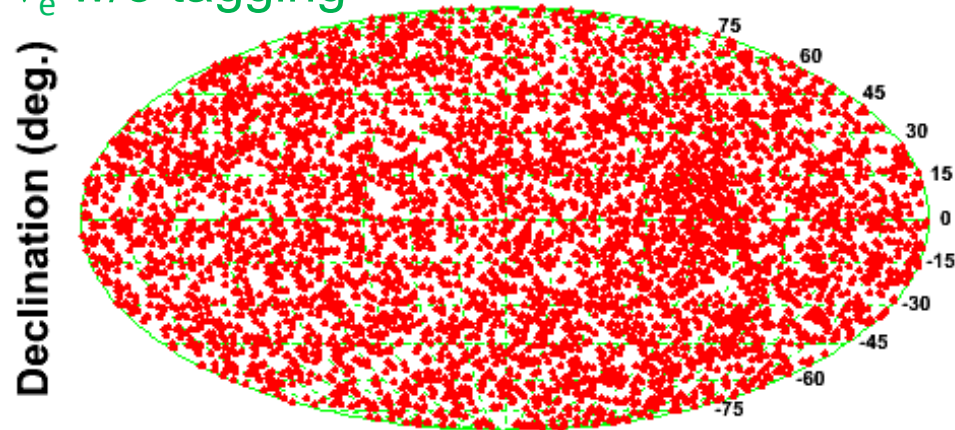
中性子タグあり



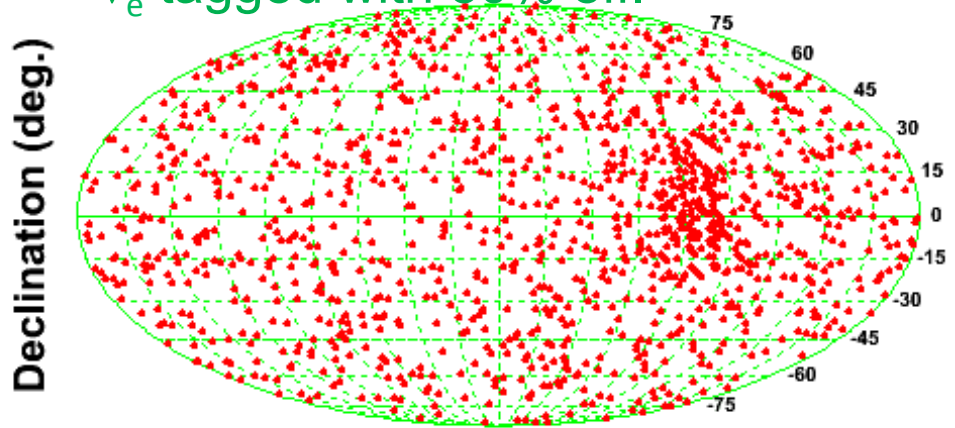
3度程度の精度で方向決定可

超新星爆発ニュートリノ

$\bar{\nu}_e$ w/o tagging

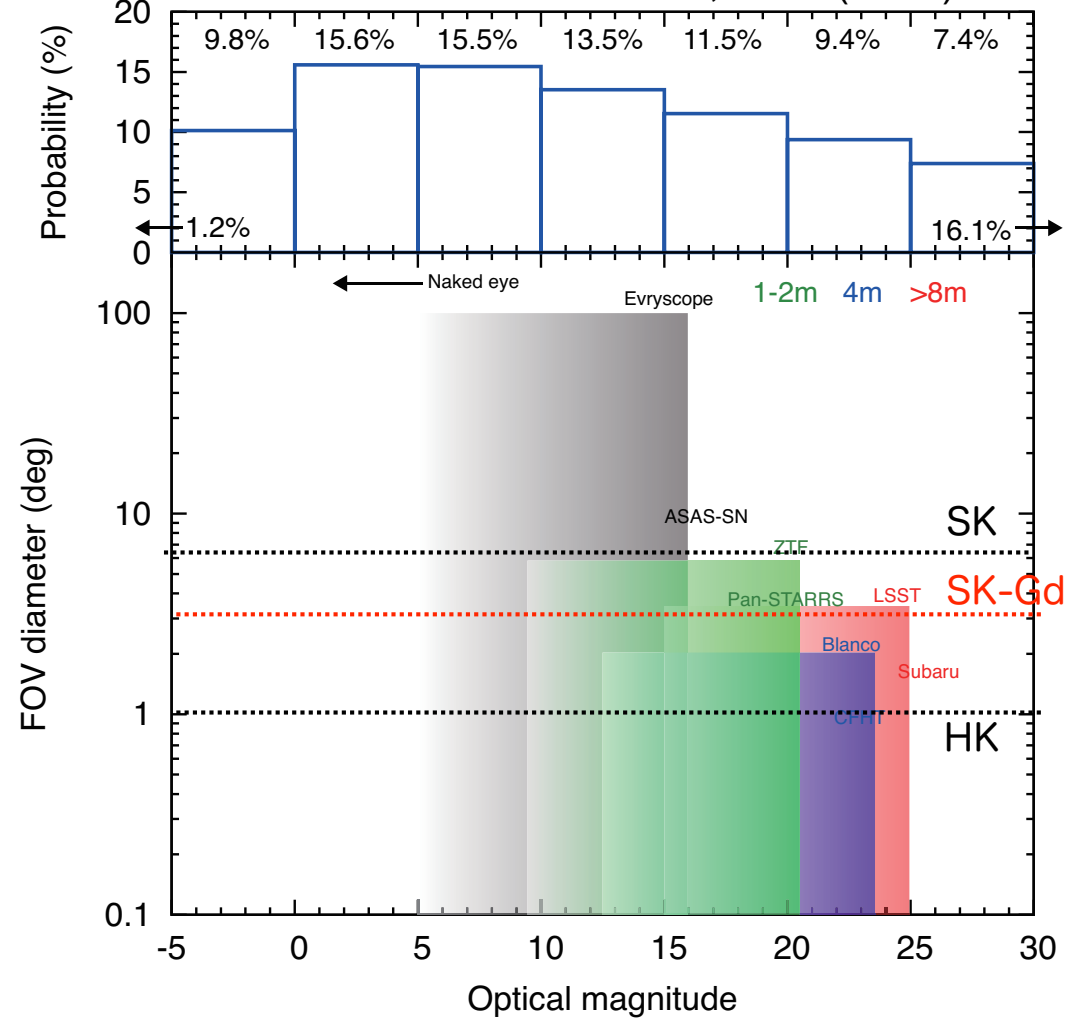


$\bar{\nu}_e$ tagged with 80% eff.



Right ascension (deg.)

K.Nakamura et. al. MNRAS 461, 3296 (2016)



SK-Gd 計画

- 超新星背景ニュートリノの発見を目指す
- R&Dは終了。SKの公式計画として認められた。
開始に向けた最終段階
- 超新星爆発ニュートリノ（前兆ニュートリノも含む）の感度向上も期待
- 中性子の遅延同時計測の検出効率向上は、他の物理解析にも役立つ

乞うご期待